

Análise do Desempenho e Perfil dos Atletas Olímpicos: Um Panorama das Conquistas e Características Físicas de 2000 a 2016

Consultores Responsáveis:

Francisco Ítalo Rios Andrade

Requerente:

João Vitor Neves

Brasília, 12 de novembro de 2024.



Sumário

	Página
1 Introdução	4
2 Referencial Teórico	5
2.1 Frequência Relativa	5
2.2 Média	5
2.3 Mediana	6
2.4 Quartis	6
2.5 Variância	6
2.5.1 Variância Amostral	7
2.6 Desvio Padrão	7
2.6.1 Desvio Padrão Amostral	7
2.7 Coeficiente de Correlação de Pearson	7
2.8 Boxplot	8
2.9 Histograma	9
2.10 Gráfico de Dispersão	9
2.11 Tipos de Variáveis	10
2.11.1 Qualitativas	10
2.11.2 Quantitativas	10
2.12 Teste de Hipóteses	11
2.13 P-valor	11
2.14 Teste de Normalidade de Shapiro-Wilk	11
2.15 Teste de Kruskal-Wallis	12
2.16 Teste de Normalidade de Anderson-Darling	13
2.17 Análise de Regressão Linear	13
2.17.1 Soma de Quadrados	14
2.17.2 Teste F	14
2.17.3 Coeficiente de Determinação na Regressão	15
3 Análises	17
3.1 Top 5 países com maior número de mulheres medalhistas únicas	17
3.2 Análise do IMC para os esportes selecionados	18
3.2.1 Teste de normalidade de Shapiro-Wilk	20
3.2.2 Teste de Kruskal-Wallis	21
3.3 Top 3 medalhistas gerais por quantidade de cada tipo de medalha	22
3.3.1 Teste de independência	23
3.4 Variação Peso por Altura	24
3.4.1 Teste de normalidade de Anderson-Darling	27
3.4.2 Análise de diagnóstico	28

	3.4.3	Regressão Linear Simples	30
4		Conclusões	32

1 Introdução

O projeto tem como objetivo auxiliar João Neves, proprietário da academia de alta performance House of Excellence, na otimização do desempenho de seus atletas de elite, com base em análises estatísticas de suas participações nas edições dos Jogos Olímpicos de 2000 a 2016. O foco das análises é identificar padrões de desempenho, características físicas e fatores relacionados às conquistas de medalhas, oferecendo insights valiosos para melhorar a preparação e a performance futura dos atletas. A primeira análise identifica os cinco países com maior número de mulheres medalhistas, classificando-os em ordem decrescente de conquistas femininas. Já a segunda análise calculou o IMC de atletas em atletismo, badminton, futebol, ginástica e judô, para comparar a variação do índice entre esportes e verificar diferenças significativas, aplicando o teste de Kruskal-Wallis para essa comparação. Em seguida, a análise dos três maiores medalhistas em quantidade total de medalhas avaliará a frequência de medalhas de ouro, prata e bronze conquistadas por cada um e as associações entre o tipo de medalha e o atleta. Para entender a relação entre peso e altura, será realizada uma regressão linear, investigando se há correlação positiva, negativa ou inexistente entre essas variáveis. Essas análises combinam métodos descritivos, testes de hipóteses e regressão. Utilizou-se um nível de significância de 5% para tomada de decisão nos testes.

Para realização das análises utilizou-se um banco de dados fornecidos pelo cliente com dados que existe uma probabilidade de serem confiáveis para os Jogos Olímpíadas de 2000 a 2016 separado por países sede da olimpíada e ano de sua realização e contém as seguintes variáveis: nome do atleta, sexo, idade, altura, peso, país que o atleta compete, esporte, evento e tipo de medalha.

As análises foram realizadas utilizando o software R, versão 4.4.1, com pacotes especializados para manipulação de dados, visualização gráfica e modelagem estatística.

2 Referencial Teórico

Este relatório é composto por técnicas estatísticas que serão descritas a seguir de acordo com o que foi utilizado em tal estudo.

2.1 Frequência Relativa

A frequência relativa é utilizada para a comparação entre classes de uma variável categórica com c categorias, ou para comparar uma mesma categoria em diferentes estudos.

A frequência relativa da categoria j é dada por:

$$f_j = \frac{n_j}{n}$$

Com:

- $j = 1, \dots, c$
- n_j = número de observações da categoria j
- n = número total de observações

Geralmente, a frequência relativa é utilizada em porcentagem, dada por:

$$100 \times f_j$$

2.2 Média

A média é a soma das observações dividida pelo número total delas, dada pela fórmula:

$$\bar{X} = \frac{\sum_{i=1}^n X_i}{n}$$

Com:

- $i = 1, 2, \dots, n$
- n = número total de observações

2.3 Mediana

Sejam as n observações de um conjunto de dados $X = X_{(1)}, X_{(2)}, \dots, X_{(n)}$ de determinada variável ordenadas de forma crescente. A mediana do conjunto de dados X é o valor que deixa metade das observações abaixo dela e metade dos dados acima.

Com isso, pode-se calcular a mediana da seguinte forma:

$$\text{med}(X) = \begin{cases} X_{\frac{n+1}{2}}, & \text{para } n \text{ ímpar} \\ \frac{X_{\frac{n}{2}} + X_{\frac{n}{2}+1}}{2}, & \text{para } n \text{ par} \end{cases}$$

2.4 Quartis

Os quartis são separatrizes que dividem o conjunto de dados em quatro partes iguais. O primeiro quartil (ou inferior) delimita os 25% menores valores, o segundo representa a mediana, e o terceiro delimita os 25% maiores valores. Inicialmente deve-se calcular a posição do quartil:

- Posição do primeiro quartil P_1 :

$$P_1 = \frac{n + 1}{4}$$

- Posição da mediana (segundo quartil) P_2 :

$$P_2 = \frac{n + 1}{2}$$

- Posição do terceiro quartil P_3 :

$$P_3 = \frac{3 \times (n + 1)}{4}$$

Com n sendo o tamanho da amostra. Dessa forma, $X_{(P_i)}$ é o valor do i -ésimo quartil, onde $X_{(j)}$ representa a j -ésima observação dos dados ordenados.

Se o cálculo da posição resultar em uma fração, deve-se fazer a média entre o valor que está na posição do inteiro anterior e do seguinte ao da posição.

2.5 Variância

A variância é uma medida que avalia o quanto os dados estão dispersos em relação à média, em uma escala ao quadrado da escala dos dados.

2.5.1 Variância Amostral

Para uma amostra, a variância é dada por:

$$S^2 = \frac{\sum_{i=1}^n (X_i - \bar{X})^2}{n - 1}$$

Com:

- X_i = i-ésima observação da amostra
- \bar{X} = média amostral
- n = tamanho da amostra

2.6 Desvio Padrão

O desvio padrão é a raiz quadrada da variância. Ele avalia o quanto os dados estão dispersos em relação à média.

2.6.1 Desvio Padrão Amostral

Para uma amostra, o desvio padrão é dado por:

$$S = \sqrt{\frac{\sum_{i=1}^n (X_i - \bar{X})^2}{n - 1}}$$

Com:

- X_i = i-ésima observação da amostra
- \bar{X} = média amostral
- n = tamanho da amostra

2.7 Coeficiente de Correlação de Pearson

O coeficiente de correlação de Pearson é uma medida que verifica o grau de relação linear entre duas variáveis quantitativas. Este coeficiente varia entre os valores -1 e 1. O valor zero significa que não há relação linear entre as variáveis. Quando o valor do coeficiente r é negativo, diz-se existir uma relação de grandeza inversamente proporcional entre as variáveis. Analogamente, quando r é positivo, diz-se que as duas variáveis são diretamente proporcionais.

O coeficiente de correlação de Pearson é normalmente representado pela letra r e a sua fórmula de cálculo é:

$$r_{Pearson} = \frac{\sum_{i=1}^n [(x_i - \bar{x})(y_i - \bar{y})]}{\sqrt{\sum_{i=1}^n x_i^2 - n\bar{x}^2} \times \sqrt{\sum_{i=1}^n y_i^2 - n\bar{y}^2}}$$

Onde:

- x_i = i-ésimo valor da variável X
- y_i = i-ésimo valor da variável Y
- \bar{x} = média dos valores da variável X
- \bar{y} = média dos valores da variável Y

Vale ressaltar que o coeficiente de Pearson é paramétrico e, portanto, sensível quanto à normalidade (simetria) dos dados.

2.8 Boxplot

O boxplot é uma representação gráfica na qual se pode perceber de forma mais clara como os dados estão distribuídos. A figura abaixo ilustra um exemplo de boxplot.

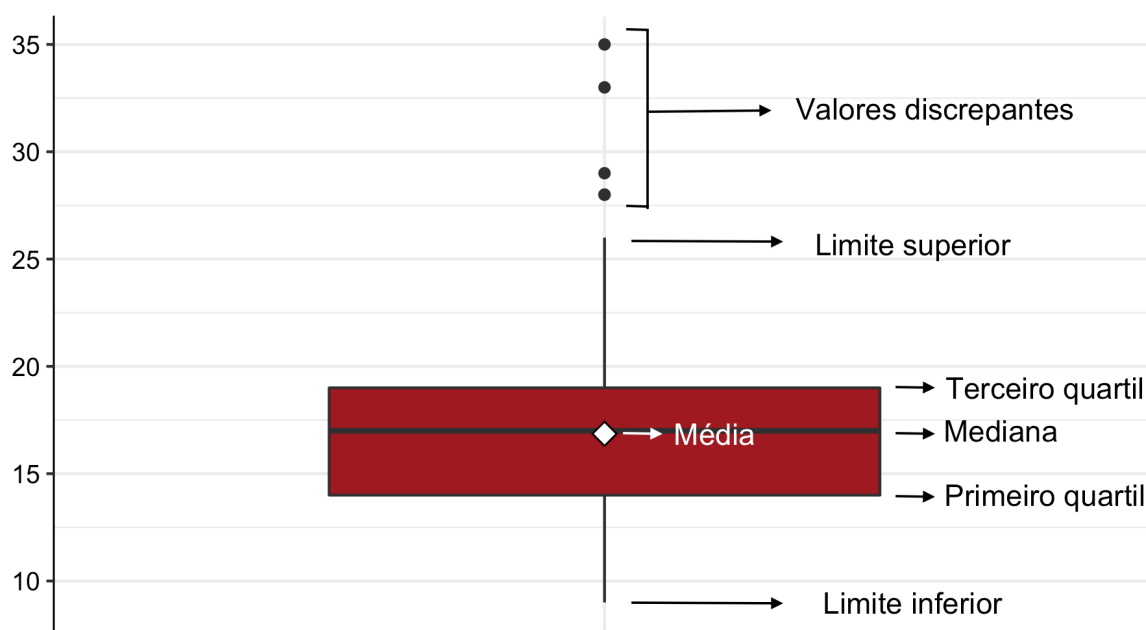


Figura 1: Exemplo de boxplot

A porção inferior do retângulo diz respeito ao primeiro quartil, enquanto a superior indica o terceiro quartil. Já o traço no interior do retângulo representa a mediana do conjunto de dados, ou seja, o valor em que o conjunto de dados é dividido em dois subconjuntos de mesmo tamanho. A média é representada pelo losango branco e os pontos são *outliers*. Os *outliers* são valores discrepantes da série de dados, ou seja, valores que não demonstram a realidade de um conjunto de dados.

2.9 Histograma

O histograma é uma representação gráfica utilizada para a visualização da distribuição dos dados e pode ser construído por valores absolutos, frequência relativa ou densidade. A figura abaixo ilustra um exemplo de histograma.

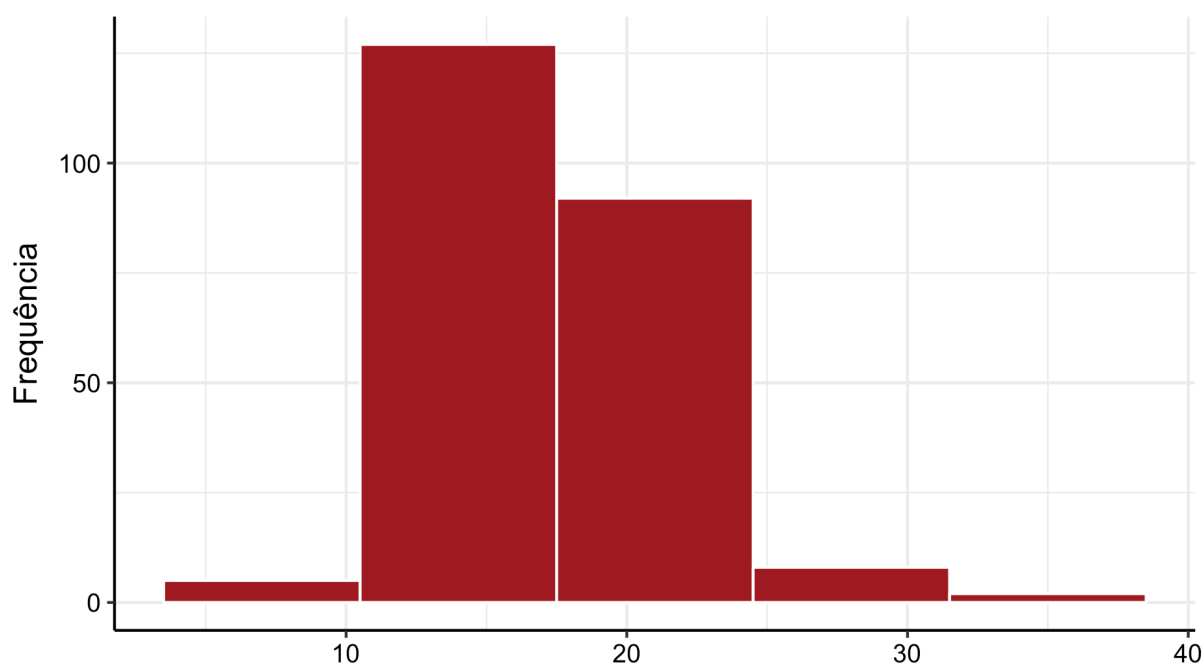


Figura 2: Exemplo de histograma

2.10 Gráfico de Dispersão

O gráfico de dispersão é uma representação gráfica utilizada para ilustrar o comportamento conjunto de duas variáveis quantitativas. A figura abaixo ilustra um exemplo de gráfico de dispersão, onde cada ponto representa uma observação do banco de dados.

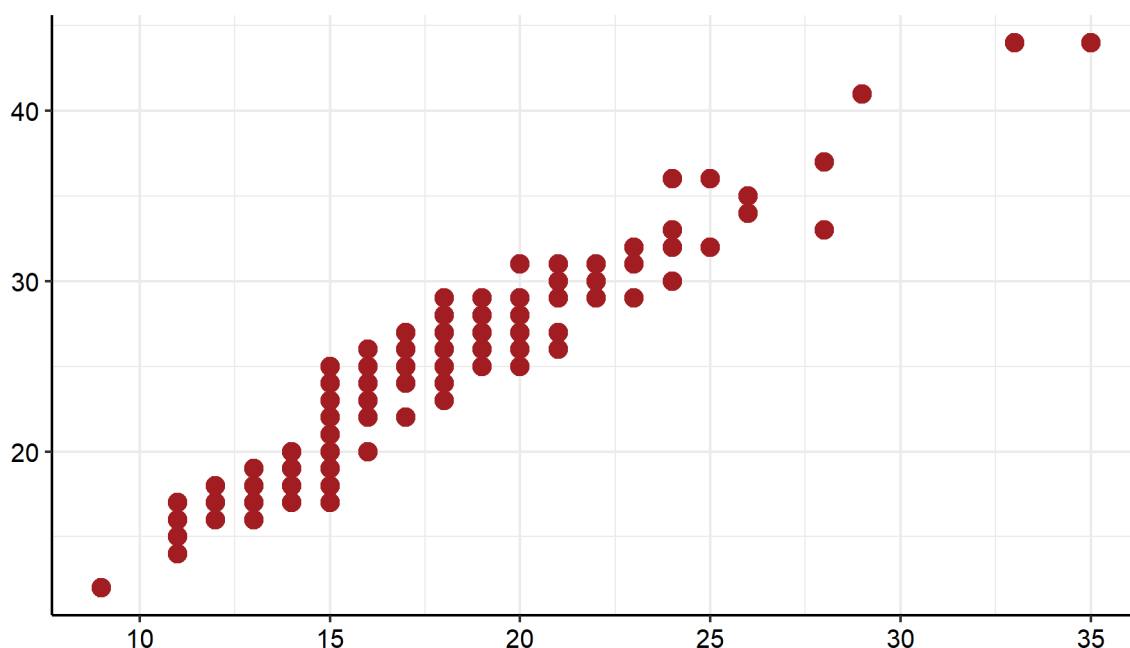


Figura 3: Exemplo de Gráfico de Dispersão

2.11 Tipos de Variáveis

2.11.1 Qualitativas

As variáveis qualitativas são as variáveis não numéricas, que representam categorias ou características da população. Estas subdividem-se em:

- **Nominais:** quando não existe uma ordem entre as categorias da variável (exemplos: sexo, cor dos olhos, fumante ou não, etc)
- **Ordinais:** quando existe uma ordem entre as categorias da variável (exemplos: nível de escolaridade, mês, estágio de doença, etc)

2.11.2 Quantitativas

As variáveis quantitativas são as variáveis numéricas, que representam características numéricas da população, ou seja, quantidades. Estas subdividem-se em:

- **Discretas:** quando os possíveis valores são enumeráveis (exemplos: número de filhos, número de cigarros fumados, etc)
- **Contínuas:** quando os possíveis valores são resultado de medições (exemplos: massa, altura, tempo, etc)

2.12 Teste de Hipóteses

O teste de hipóteses tem como objetivo fornecer uma metodologia para verificar se os dados das amostras possuem indicativos que comprovem, ou não, uma hipótese previamente formulada. Ele é composto por duas hipóteses:

$$\begin{cases} H_0 : \text{hipótese a ser testada (chamada de hipótese nula)} \\ H_1 : \text{hipótese alternativa que será aceita caso a hipótese nula} \\ \quad \text{seja rejeitada} \end{cases}$$

Essa decisão é tomada por meio da construção de uma região crítica, ou seja, região de rejeição do teste.

2.13 P-valor

O **P-valor**, ou nível descritivo, é uma medida utilizada para sintetizar o resultado de um teste de hipóteses. Ele também pode ser chamado de *probabilidade de significância* do teste e indica a probabilidade de se obter um resultado da estatística de teste mais extremo do que o observado na presente amostra, considerando que a hipótese nula é verdadeira. Dessa forma, rejeita-se H_0 quando $P\text{-valor} < \alpha$, porque a chance de uma nova amostra possuir valores tão extremos quanto o encontrado é baixa, ou seja, há evidências para a rejeição da hipótese nula.

2.14 Teste de Normalidade de Shapiro-Wilk

O **Teste de Shapiro-Wilk** é utilizado para verificar a aderência de uma variável quantitativa ao modelo da Distribuição Normal, sendo mais recomendado para amostras pequenas. A suposição de normalidade é importante para a determinação do teste a ser utilizado. As hipóteses a serem testadas são:

$$\begin{cases} H_0 : \text{A variável segue uma distribuição Normal} \\ H_1 : \text{A variável segue outro modelo} \end{cases}$$

A amostra deve ser ordenada de forma crescente para que seja possível obter as estatísticas de ordem. A estatística do teste é dada por:

$$W = \frac{1}{D} \left[\sum_{i=1}^k a_i (X_{(n-i+1)} - X_{(i)}) \right]$$

Com:

- K aproximadamente $\frac{n}{2}$
- $X_{(i)}$ = estatística de ordem i
- $D = \sum_{i=1}^n (X_i - \bar{X})^2$, em que \bar{X} é a média amostral
- $\$a_i$ = \$ constantes que apresentam valores tabelados

2.15 Teste de Kruskal-Wallis

O teste de Kruskal-Wallis é utilizado para comparar dois ou mais grupos independentes sem supor nenhuma distribuição. É um método baseado na comparação de postos, os quais são atribuídos a cada observação de uma variável quantitativa após serem ordenadas.

As hipóteses do teste de Kruskal-Wallis são formuladas da seguinte maneira:

$$\begin{cases} H_0 : \text{Não existe diferença entre os grupos} \\ H_1 : \text{Pelo menos um grupo difere dos demais} \end{cases}$$

A estatística do teste de Kruskal-Wallis é definida da seguinte maneira:

$$H_{Kruskal-Wallis} = \frac{\left[\frac{12}{n(n+1)} \sum_{i=1}^k \frac{R_i^2}{n_i} \right] - 3(n+1)}{1 - \left[\frac{\sum_j (t_j^3 - t_j)}{n^3 - n} \right]} \approx \chi_{(k-1)}^2$$

Com: - k = número de grupos

- R_i = soma dos postos do grupo i
- n_i = número de elementos do grupo i
- n = tamanho total da amostra
- t_j = número de elementos no j -ésimo empate (se houver)

Se o p-valor for menor que o nível de significância α , rejeita-se a hipótese nula.

2.16 Teste de Normalidade de Anderson-Darling

O teste de Normalidade de Anderson-Darling é utilizado para verificar se uma amostra aleatória X_1, X_2, \dots, X_n de uma variável quantitativa segue uma distribuição Normal de probabilidade ou não. O teste possui as seguintes hipóteses:

$$\begin{cases} H_0 : \text{A variável segue uma distribuição Normal} \\ H_1 : \text{A variável segue outro modelo} \end{cases}$$

Se a hipótese nula for verdadeira, espera-se que o p-valor esteja acima do nível de significância α .

2.17 Análise de Regressão Linear

A análise de regressão é um instrumento eficaz para verificar a relação entre uma variável resposta quantitativa e uma ou mais variáveis explicativas, as quais podem ser tanto qualitativas quanto quantitativas. Essa análise é feita por meio do estudo de uma função de regressão entre as variáveis estudadas. A equação abaixo exemplifica como essa função pode ser escrita:

$$Y = \alpha + \beta X + \varepsilon$$

Esta equação mostra a regressão linear simples. Nela, é evidenciado o comportamento de uma variável dependente ou resposta Y em função de uma variável X , chamada de variável independente ou explicativa. O termo β indica o quanto espera-se que Y varie se X tiver um acréscimo de uma unidade e o coeficiente α mostra o valor esperado da variável Y se X fosse nulo. Além disso, o termo ε indica o erro aleatório associado à equação em estudo.

Uma generalização do modelo de regressão simples é o modelo de regressão múltipla, no qual são consideradas mais de uma variável independente na equação. Dessa forma, a função será dada por:

$$Y = \beta_0 + \beta_1 X_1 + \beta_2 X_2 + \dots + \beta_k X_k + \varepsilon$$

Os coeficientes são interpretados de maneira semelhante: β_0 indica o valor esperado de Y se todas as variáveis X_i ($i = 1, 2, \dots, k$) forem nulas; β_i mostra a variação esperada de Y para um aumento de uma unidade na variável X_i quando to-

das as outras variáveis são mantidas constantes; e ε informa o erro aleatório associado à equação em estudo.

É necessário assumir as seguintes suposições para o modelo:

- Os erros seguem distribuição normal com média igual a zero
- A variância do erros é constante
- Os erros são independentes

2.17.1 Soma de Quadrados

A fim de verificar o ajuste do modelo, utiliza-se uma outra abordagem, a Análise de Variância, que consiste em separar a fonte de variação total dos dados na fonte de variação explicada pelo modelo e na fonte de variação do resíduo (não explicada pelo modelo). A decomposição é expressa como:

$$SQTot_{(n-1)} = SQReg_{(p)} + SQRes_{(n-p-1)}$$

- $SQTot_{(n-1)} = \sum_{i=1}^n (y_i - \bar{y})^2$
- $SQReg_{(p)} = \sum_{i=1}^n (\hat{y}_i - \bar{y})^2$
- $SQRes_{(n-p-1)} = \sum_{i=1}^n (y_i - \hat{y}_i)^2$
- Os valores entre parênteses são os graus de liberdade associados a cada soma de quadrados
- n é o tamanho da amostra
- O modelo apresenta $p+1$ parâmetros (1 coeficiente do intercepto e p parâmetros de inclinação)

Os quadrados médios (QM) podem ser obtidos dividindo cada soma de quadrados pelos seus respectivos graus de liberdade.

2.17.2 Teste F

A estatística F testa se pelo menos um dos parâmetros estimados do modelo é estatisticamente diferente de zero, em outras palavras, testa a existência do modelo, por meio das seguintes hipóteses:

$$\begin{cases} H_0 : \beta_1 = \beta_2 = \dots = \beta_p = 0 \\ H_1 : \beta_i \neq \beta_j \text{ para algum } i \neq j \end{cases}$$

Estatística do Teste

$$F = \frac{\frac{SQReg}{p}}{\frac{SQRes}{(n-p-1)}} = \frac{QMReg}{QMRes} \sim F(p, n - p - 1)$$

- $SQReg_{(p)}$ é a soma de quadrados de regressão
- $SQRes_{(n-p-1)}$ é a soma de quadrados dos resíduos
- $p + 1$ é a quantidade de parâmetros estimados
- n é o tamanho da amostra

2.17.3 Coeficiente de Determinação na Regressão

O coeficiente de determinação, também chamado de R^2 , indica o quanto da variação da variável Y é explicado pelas variáveis independentes (x_1, x_2, \dots, x_p) . Esse coeficiente varia entre 0 e 1, indicando em porcentagem quanto está sendo explicado pelo modelo, ou seja, quanto mais perto de 1, mais as variáveis independentes explicam sobre a variação de Y . Seu valor é obtido a partir da fórmula:

$$R^2 = \frac{\sum_{i=1}^n (\hat{y}_i - \bar{y})^2}{\sum_{i=1}^n (y_i - \bar{y})^2} = \frac{SQE}{SQT}$$

com:

- p = número de variáveis explicativas
- n = tamanho da amostra
- \bar{y} = média amostral da variável resposta Y
- \hat{y}_i = i -ésimo valor predito pela regressão

•

$$\sum_{i=1}^n (\hat{y}_i - \bar{y})^2 = SQE =$$

soma de quadrados explicada

•

$$\sum_{i=1}^n (y_i - \bar{y})^2 = SQT =$$

soma de quadrados total

3 Análises

3.1 Top 5 países com maior número de mulheres medalhistas únicas

Na análise, busca-se identificar os países que tiveram o maior número de mulheres medalhistas nos Jogos Olímpicos de 2000 a 2016. Considerou-se as variáveis de sexo (feminino), país de origem das atletas (Time), e a presença de uma medalha (Medalha) e utilizou-se os dados das olimpíadas do período de 2000 a 2016. As três variáveis estudadas são variáveis qualitativas nominais. A variável sexo pode ser categorizada como Masculino e Feminino, já a variável Time assume os nomes dos países de origem dos atletas e a variável medalha pode ser Ouro, Prata e Bronze. O objetivo principal foi compreender quais nações se destacaram em termos de conquistas femininas, sem duplicações de resultados, ou seja, apenas o número de mulheres medalhistas únicas. Utilizando como métricas o número total de medalhistas por país e a frequência relativa de cada país em relação ao total de mulheres medalhistas

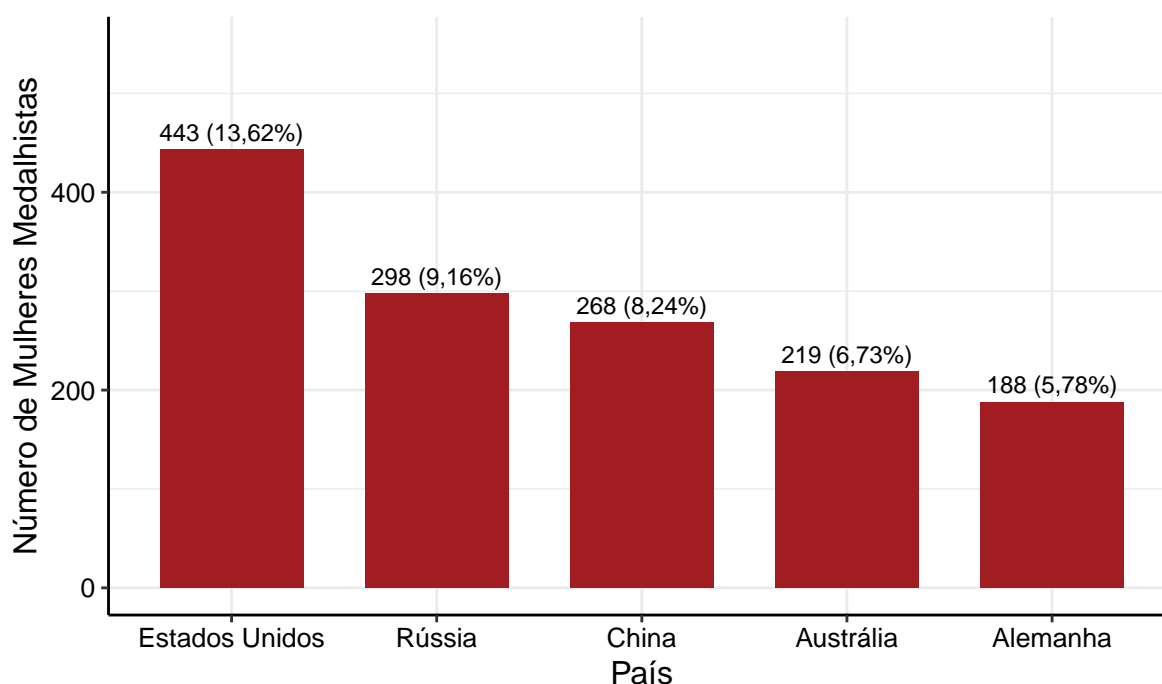


Figura 4: Gráfico de barras dos 5 países com maior número de mulheres medalhistas

Notou-se da **Figura 4** que entre os anos de 2000 a 2016, os Estados Unidos se destacaram como o país com o maior número de mulheres medalhistas nas Olimpíadas, totalizando 443 atletas únicos, o que representa 13,62% do total de mulheres medalhistas analisadas. Em segundo lugar, a Rússia registrou 298 mulheres medalhistas, correspondendo a 9,16% do total. A China ocupa a terceira posição com 268 medalhistas, o que equivale a 8,24% do total. A Austrália, com 219 atletas únicos (6,73%),

é o quarto colocado. Por fim, a Alemanha completou o top 5 com 188 medalhistas, representando 5,78% do total.

3.2 Análise do IMC para os esportes selecionados

Nesta análise, busca-se comparar o Índice de Massa Corporal (IMC) de atletas olímpicos que competiram em diferentes modalidades esportivas, especificamente Atletismo, Badminton, Futebol, Ginástica e Judô. As variáveis trabalhadas foram as seguintes: esporte é uma variável qualitativa nominal, altura variável quantitativa contínua e peso é uma variável quantitativa contínua. A variável esporte pode assumir as seguintes categorias: Atletismo, Badminton, Futebol, Ginástica e Judô, a altura pode variar de 1,39 a 2,07 e o peso pode variar de 30,9 a 174,9. Depois de calculado o IMC temos que ele é uma variável quantitativa contínua. O objetivo é identificar se há diferenças significativas nos valores de IMC entre esses esportes, bem como entender quais esportes tendem a ter IMC mais altos ou mais baixos.

O cálculo do IMC é dado pela seguinte fórmula:

$$IMC = \frac{Peso(kg)}{Altura(m^2)}$$

Em termos gerais, os valores de IMC podem ser categorizados da seguinte forma:

- Abaixo de 18,5: Peso abaixo do ideal.
- 18,5 a 24,9: Peso normal ou saudável.
- 25,0 a 29,9: Sobrepeso.
- 30,0 a 34,9: Obesidade grau I.
- 35,0 a 39,9: Obesidade grau II.
- Acima de 40,0: Obesidade grau III.

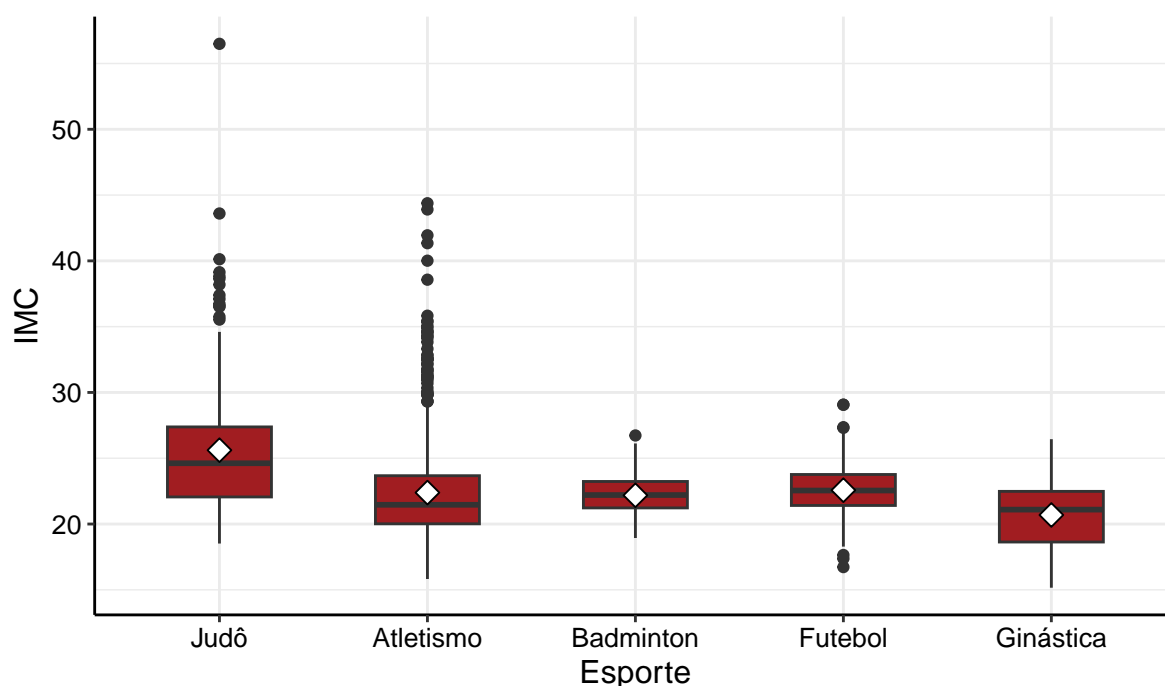


Figura 5: Boxplot da Comparação do IMC entre Esportes

Quadro 1: Medidas resumo de IMC por Esporte

Estatística	Judô	Atletismo	Badminton	Futebol	Ginástica
Média	25,61	22,39	22,18	22,57	20,69
Desvio Padrão	5,05	4,01	1,59	1,77	2,42
Variância	25,51	16,10	2,52	3,13	5,86
Mínimo	18,52	15,82	18,94	16,73	15,16
1º Quartil	22,06	20,02	21,22	21,41	18,63
Mediana	24,62	21,46	22,20	22,55	21,09
3º Quartil	27,38	23,67	23,23	23,77	22,48
Máximo	56,50	44,38	26,73	29,07	26,45

Observa-se que na **Figura 5** os atletas de Atletismo e Badminton tendem a ter uma mediana de IMC menor em comparação aos de Ginástica e Judô, sugerindo que essas duas modalidades têm atletas com IMC menores. O Judô apresenta a maior mediana entre os esportes analisados, indicando uma tendência a ter um IMC mais elevado entre seus atletas. O Judô se destaca por ter uma caixa maior, sugerindo mais variação no IMC dos seus atletas em comparação aos outros esportes. Por outro lado, os da Ginástica é menor, o que indica uma menor variação no IMC dos atletas dessa modalidade.

No boxplot da **Figura 5** também exibe vários pontos fora dos limites, também conhecidos como outliers, que representam valores atípicos. Esportes como Atletismo

e Judô apresentam uma quantidade significativa de outliers, com alguns atletas tendo IMC consideravelmente mais altos que a maioria de seus pares na mesma modalidade.

No Atletismo, verifica-se do **Quadro 1** que a média do IMC é de aproximadamente 22,39, com uma mediana de 21,46 e um desvio padrão de 4,01. Isso indica que, embora a maioria dos atletas de Atletismo tenha um IMC próximo à média, há certa variabilidade, com valores extremos como o máximo de 44,4, sugerindo diferenças significativas entre os atletas dessa modalidade. Para os atletas de Badminton, observa-se do **Quadro 1** que a média de IMC é de 22,18 e a mediana é de 22,20, com um desvio padrão de apenas 1,59. Esse baixo desvio padrão indica uma menor variabilidade nos valores de IMC, sugerindo que a maioria dos atletas de Badminton possui valores próximos da média, sem grandes desvios.

No Futebol, segue-se do **Quadro 1** que a média de IMC é ligeiramente superior, de 22,57, e a mediana é de 22,54, com um desvio padrão de 1,77. Essa baixa variabilidade também indica que a maioria dos jogadores apresenta valores de IMC semelhantes, concentrando-se em torno da média. Na Ginástica, nota-se do **Quadro 1** que a média do IMC é de 20,69, com uma mediana de 21,09 e um desvio padrão de 2,42. Esse valor relativamente baixo de desvio padrão aponta para uma variabilidade pequena, com a maioria dos ginastas concentrados em torno da média, refletindo uma distribuição homogênea de IMC entre os atletas.

Por fim, no Judô, percebe-se do **Quadro 1** que a média do IMC é a mais alta entre os esportes analisados, com 25,61, enquanto a mediana é de 24,62 e o desvio padrão é de 5,05. Esse alto desvio padrão indica uma grande variabilidade entre os judocas, com um valor máximo de 56,5, sugerindo que alguns atletas possuem IMC significativamente mais altos, o que pode estar relacionado às exigências físicas do esporte, onde uma maior massa corporal é frequentemente vantajosa.

Esses dados mostram que os judocas tendem a ter IMC mais elevados e variáveis, enquanto os ginastas possuem os menores valores de IMC e menor variabilidade. As diferenças de variabilidade e valores médios refletem as demandas físicas específicas de cada esporte, com esportes de força e contato, como o Judô, exigindo maior massa muscular, enquanto esportes que demandam agilidade, como Ginástica e Atletismo, favorecem IMC mais baixos.

3.2.1 Teste de normalidade de Shapiro-Wilk

O teste de Shapiro-Wilk foi aplicado para cada esporte para verificar se os dados de IMC seguem uma distribuição normal.

$$\begin{cases} H_0 : \text{A distribuição dos dados de IMC para cada esporte é normal.} \\ H_1 : \text{A distribuição dos dados de IMC para cada esporte não é normal.} \end{cases}$$

Quadro 2: Teste de normalidade de Shapiro-Wilk

Teste	P-valor	Decisão do teste
Shapiro-Wilk	<0,001	Rejeita H_0

O valor do p-valor resultante, que está disponível no **Quadro 2**, para todos os atletas dos esportes selecionados foi extremamente baixo, menores que um nível de significância preestabelecido de 5%, indicando que os dados não seguem uma distribuição normal.

3.2.2 Teste de Kruskal-Wallis

Dada a violação da normalidade, foi aplicado o teste de Kruskal-Wallis, que é um teste não-paramétrico.

$$\begin{cases} H_0 : \text{Não há diferença significativa nas distribuições de IMC entre as modalidades esportivas; ou seja, os valores de IMC têm a mesma mediana entre os grupos.} \\ H_1 : \text{Há pelo menos uma diferença significativa nas distribuições de IMC entre as modalidades esportivas; ou seja, os valores de IMC diferem entre os grupos.} \end{cases}$$

Quadro 3: Teste de comparação de Kruskal-Wallis

Teste	Estatística do teste	P-valor	Decisão do teste
Kruskal-Wallis qui-quadrado	1984,40	<0,001	Rejeita H_0

O resultado que consta no **Quadro 3** obteve-se o seguinte p-valor <0,001 que é menor do que o nível de significância predeterminado, indicando diferenças significativas do IMC entre os grupos de esportes.

3.3 Top 3 medalhistas gerais por quantidade de cada tipo de medalha

A análise tem como objetivo identificar os três atletas com mais medalhas nas Olimpíadas de 2000 a 2016, além de examinar a quantidade de cada tipo de medalha (ouro, prata e bronze) conquistada por eles. As variáveis utilizadas foram nome dos medalhistas variável qualitativa nominal, número de medalhas variável quantitativa discreta, tipo de medalha variável qualitativa nominal e quantidade de medalhas por tipo variável quantitativa discreta. Também será investigada, por meio de métodos estatísticos como o teste qui-quadrado de independência, a existência de uma relação entre o atleta e o tipo de medalha.

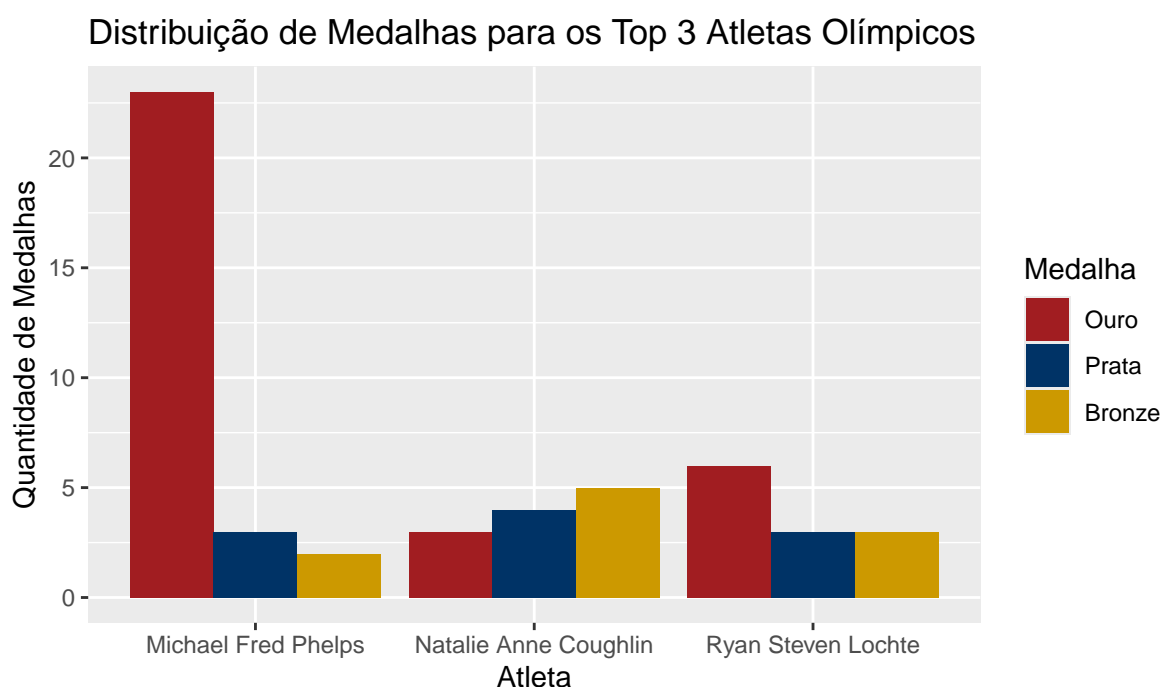


Figura 6: Gráfico de barras da distribuição das medalhas

Quadro 4: Tabela dos Medalhistas e Distribuição das Medalhas

Nome	Total de Medalhas	Medalha	Quantidade
Michael Fred Phelps	28	Ouro	23
		Prata	3
		Bronze	2
Natalie Anne Coughlin	12	Ouro	3
		Prata	4
		Bronze	5
Ryan Steven Lochte	12	Ouro	6
		Prata	0
		Bronze	3

A distribuição das medalhas foi visualizada na **Figura 6** que em um gráfico de barras que evidenciou o predomínio de medalhas de ouro nas conquistas de Michael Phelps, enquanto Natalie Coughlin e Ryan Lochte apresentaram uma proporção mais distribuída entre os diferentes tipos de medalhas.

Com base no **Quadro 4**, identifica-se que os três atletas com o maior número de medalhas em todas as edições analisadas foram: Michael Fred Phelps, II, com um total de 28 medalhas; Natalie Anne Coughlin, com 12 medalhas; e Ryan Steven Lochte, também com 12 medalhas. A distribuição das medalhas revelou-se diferenças significativas entre os atletas. Michael Phelps, que se destacou como o maior medalhista, conquistou 23 medalhas de ouro, 3 de prata e 2 de bronze, tendo um desempenho excepcional em conquistas medalhas de ouro. Natalie Coughlin, por outro lado, teve uma distribuição mais equilibrada, com 3 medalhas de ouro, 4 de prata e 5 de bronze. Já Ryan Lochte obteve 6 medalhas de ouro, 3 de prata e 3 de bronze, também apresentando um perfil balanceado em termos de tipo de medalhas.

3.3.1 Teste de independência

O teste de independência do qui-quadrado está sendo realizado para avaliar se existe uma associação estatisticamente significativa entre duas variáveis categóricas: o atleta e o tipo de medalha conquistada (ouro, prata ou bronze). Esse teste nos ajuda a determinar se a distribuição dos tipos de medalhas depende do atleta, ou se a distribuição de cada tipo de medalha é independente do atleta avaliado.

$$\begin{cases} H_0 : \text{A diferença entre homens e mulheres segue uma distribuição simétrica em torno de zero} \\ H_1 : \text{A diferença entre homens e mulheres não segue uma distribuição simétrica em torno de zero} \end{cases}$$

Quadro 5: P-valor do teste Qui-Quadrado entre as variáveis Nome do Atleta e Medalha

Estatística	Estatístico do teste	Graus de Liberdade	P-valor	Decisão do teste
Qui-Quadrado	12.77	4	0,012	Rejeita H_0

Para verificar se existia uma relação estatisticamente significativa entre os atletas e os tipos de medalhas, realizou-se um teste qui-quadrado de independência. Os resultados do teste, que se encontram no **Quadro 5**, indicaram um valor de Qui-Quadrado de 12,77 com 4 graus de liberdade e um valor-p de 0,012. Este valor-p, sendo inferior ao nível de significância de 5%, que levou a rejeitar a hipótese nula de independência entre as variáveis. Ou seja, os resultados indicam que existe uma relação significativa entre os atletas analisados e os tipos de medalhas que conquistaram. Isso sugere que a distribuição das medalhas de ouro, prata e bronze não ocorre de forma uniforme entre os três atletas, havendo diferenças marcantes.

3.4 Variação Peso por Altura

A análise realizada tem como objetivo compreender a relação entre o peso e a altura dos atletas, investigando se existe uma correlação direta entre essas variáveis. Em outras palavras, a análise busca responder se, à medida que o peso aumenta, a altura dos atletas também tende a aumentar, ou se não há uma relação clara entre essas duas características físicas. Para essa análise, são utilizadas as variáveis peso e altura, ambas sendo variáveis quantitativas contínuas. A altura para essa análise pode variar de 1,39 a 2,07 e o peso para essa análise pode variar de 30,9 a 174,9.

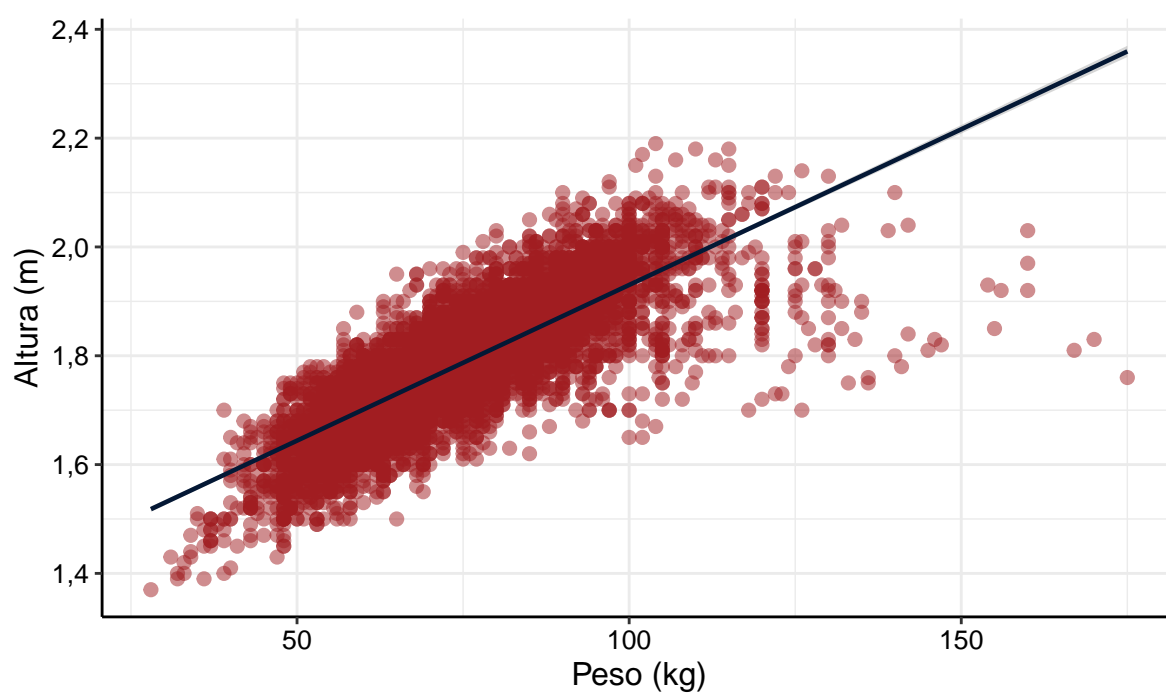


Figura 7: Gráfico de dispersão da Altura e Peso dos Atletas

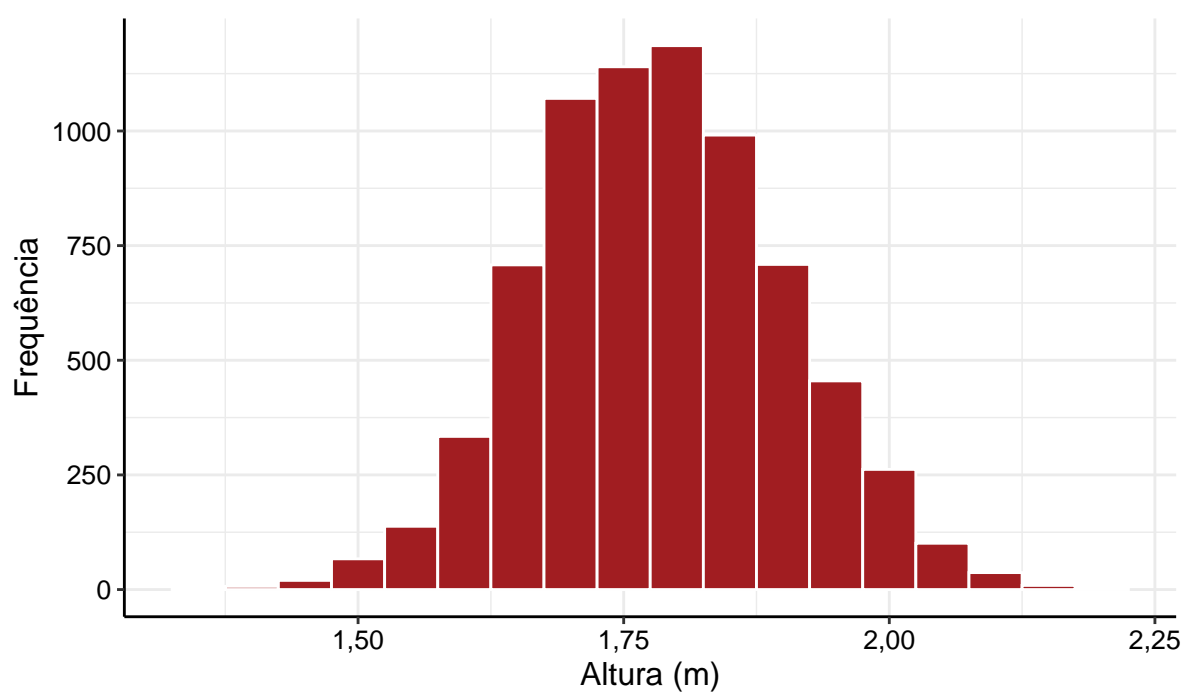


Figura 8: Distribuição da Altura dos Atletas

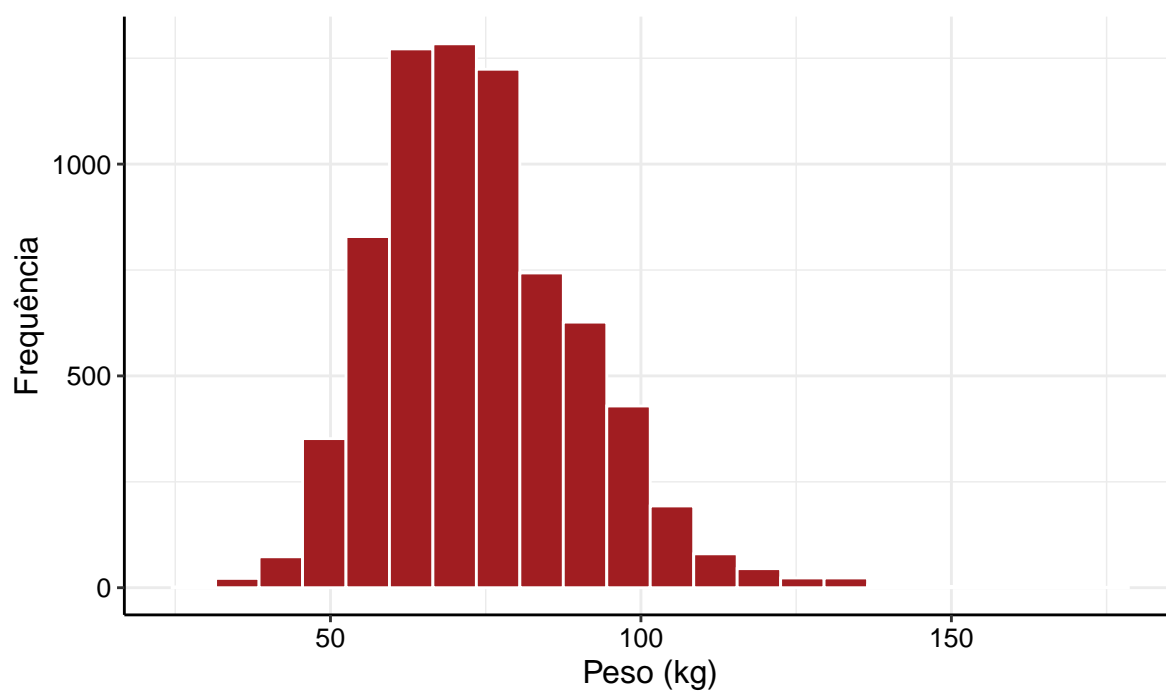


Figura 9: Distribuição do Peso dos Atletas

Quadro 6: Medidas resumo da Altura

Estatística	Valor
Média	1,78
Desvio Padrão	0,12
Variância	0,01
Mínimo	1,37
1º Quartil	1,70
Mediana	1,78
3º Quartil	1,86
Máximo	2,19

Quadro 7: Medidas resumo do Peso

Estatística	Valor
Média	74,15
Desvio Padrão	16,25
Variância	264,13
Mínimo	28,00
1º Quartil	63,00
Mediana	72,00
3º Quartil	84,00
Máximo	175,00

No gráfico da **Figura 7** observa-se uma correlação positiva entre peso e altura, onde, à medida que o peso dos atletas aumenta, a altura tende a aumentar também. Sugerindo que atletas mais pesados geralmente têm uma altura maior. A dispersão dos pontos em torno da linha de tendência mostra, no entanto, uma variação considerável. Atletas de mesmo pesos apresentam alturas diferentes, o que pode refletir a diversidade de esportes e de composição corporal.

Na **Figura 8** sobre a distribuição da altura dos atletas apresenta uma forma aproximadamente simétrica, centrada em torno de 1,75 metros, sugerindo que a maioria dos atletas tem altura próxima desse valor. A distribuição tem um padrão semelhante ao de uma distribuição normal, embora possa haver uma leve assimetria ou variação nas caudas, o que seria melhor avaliado com testes específicos de normalidade.

Já na **Figura 9** da distribuição do peso dos atletas mostra que é mais assimétrica e apresenta uma cauda longa à direita, indicando que há atletas com pesos mais elevados, mas que representam uma menor proporção da amostra. A maior concentração está entre 50 e 80 kg, o que sugere uma tendência mais centralizada dentro dessa faixa. Essa assimetria positiva é comum em variáveis como peso, onde existem poucos valores muito altos.

Com base no **Quadro 6** temos que a média da altura é de 1,78 metros, indicando que, em geral, os indivíduos têm uma estatura próxima a esse valor. O desvio padrão de 0,12 metros mostra que há uma variação pequena ao redor da média, sugerindo que a maioria dos indivíduos tem alturas próximas a essa média. A variância, outra medida de dispersão, é de 0,01, o que confirma essa baixa variabilidade. Quanto aos valores extremos e à distribuição da altura, o mínimo é de 1,37 metros e o máximo é de 2,19 metros, o que estabelece o intervalo total das alturas observadas.

De acordo com o **Quadro 7** a média do peso dos atletas é de 74,15 kg, indicando o valor central dessa distribuição. O desvio padrão de 16,25 kg indica a variabilidade ou dispersão dos valores em torno da média, sendo assim o peso dos atletas está relativamente disperso. A variância é de 264,13, mostrando uma alta dispersão dos dados. O mínimo registrado é 28 kg, enquanto o máximo chega a 175 kg, o que mostra uma grande variabilidade de pesos entre os atletas. Os quartis dividem os dados em quatro partes iguais, sendo o primeiro quartil 63 kg, a mediana 72 kg e o terceiro quartil 84 kg. A mediana indica que metade dos atletas têm peso abaixo de 72 kg e a outra metade acima, enquanto o intervalo interquartil ($84 - 63 = 21$) sugere que a maior parte dos atletas têm pesos concentrados entre 63 kg e 84 kg.

3.4.1 Teste de normalidade de Anderson-Darling

Antes de realizar qualquer análise de regressão, é importante verificar se os dados seguem uma distribuição normal. A verificação da normalidade é essencial para

garantir que os resultados do modelo de regressão linear sejam confiáveis. O teste de normalidade pode ser realizado de várias maneiras, incluindo a inspeção visual de histogramas ou gráficos de dispersão dos resíduos, bem como por meio de testes estatísticos.

$$\begin{cases} H_0 : \text{Os dados vêm de uma distribuição normal} \\ H_1 : \text{Os dados não vêm de uma distribuição normal} \end{cases}$$

Quadro 8: P-valor do teste de normalidade (Teste de Anderson-Darling) da Altura dos Atletas

Estatística	Valor	P-valor	Decisão do teste
A	6,42	<0,001	Rejeita H_0

Quadro 9: P-valor do teste de normalidade (Teste de Anderson-Darling) do Peso dos Atletas

Estatística	Valor	P-valor	Decisão do teste
A	40,83	<0,001	Rejeita H_0

Para verificar se essas variáveis seguem uma distribuição normal, foi realizado o Teste de Anderson-Darling, que é utilizado para avaliar a normalidade dos dados de grandes amostras. Tanto para a altura (**Quadro 8**) quanto para o peso (**Quadro 9**), os resultados apontaram p-valores extremamente baixos, o que leva à rejeição da hipótese nula de normalidade. Isso indica que tanto o peso quanto a altura dos atletas não seguem uma distribuição normal, sendo distribuídos de maneira assimétrica.

3.4.2 Análise de diagnóstico

A análise de diagnóstico de um modelo de regressão tem como objetivo avaliar se as suposições do modelo são atendidas, identificando possíveis problemas, como a presença de outliers, heterocedasticidade ou não-linearidades nos dados. Ferramentas comuns para a análise diagnóstica incluem a inspeção de resíduos ou testes de hipóteses sobre os resíduos do modelo. A análise diagnóstica ajuda a refinar o modelo e garantir a robustez das conclusões.

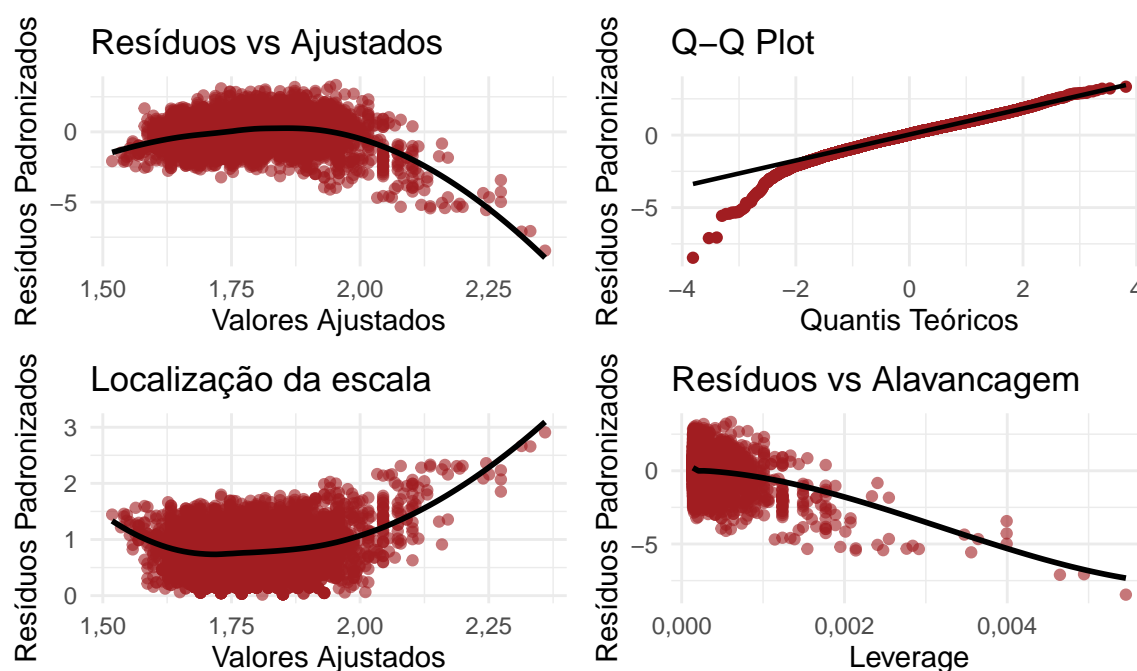


Figura 10: Análise de Diagnóstico de resíduos

Na **Figura 10** temos que para o gráfico resíduos vs ajustados avalia-se a suposição de linearidade e se a variância dos resíduos é constante. Neste caso, a falta de um padrão claro nos resíduos ao redor de zero indica uma possível adequação, mas a leve tendência curvada sugere alguma possível violação de linearidade. No gráfico q-q plot, que está na **Figura 10**, verifica-se a normalidade dos resíduos. No seu gráfico, a maioria dos pontos segue a linha teórica, mas há desvios nas extremidades, o que indica que os resíduos podem não ser perfeitamente normais (presença de caudas mais pesadas). Já no gráfico localização da escala, da **Figura 10**, também verifica-se a homocedasticidade, ou seja, variância constante dos resíduos. Uma tendência ascendente indica que a variância dos resíduos aumenta com os valores ajustados, sugerindo heterocedasticidade. Por fim, analisando o gráfico da **Figura 10** os resíduos vs alavancagem mostra-se a influência de pontos específicos. Observações fora das linhas de Cook's distance podem ser pontos influentes que afetam o modelo de forma desproporcional. Neste gráfico, alguns pontos aparecem próximos às linhas, o que indica que esses pontos podem ter grande influência na regressão.

Quadro 10: Coeficiente de Correlação de Pearson entre Peso e Altura

Coeficiente	r
Coeficiente de Correlação de Pearson	0,79

O Coeficiente de Correlação de Pearson, que se encontra no **Quadro 10**, entre peso e altura dos atletas é de 0,79, indicando uma correlação positiva forte entre essas duas

variáveis. Esse valor significa que, à medida que o peso dos atletas aumenta, a altura tende a aumentar também, e vice-versa. Essa correlação positiva sugere que existe uma relação linear considerável entre peso e altura entre os atletas analisados.

3.4.3 Regressão Linear Simples

Quadro 11: P-valor da regressão linear simples para o Peso em função da Altura

Variável	Estimativa	Erro Padrão	Estatística t	P-valor
Intercepto	-122,50	1,76	-69,22	<0,001
Altura	110,34	0,99	111,37	<0,001

Para investigar a relação entre peso e altura, foi realizada uma análise de regressão linear que se encontra no **Quadro 11**, onde o peso foi ajustado em função da altura. O modelo ajustado revelou uma equação onde o peso aumenta conforme a altura aumenta. O coeficiente de regressão associado ao peso foi positivo e estatisticamente significativo, reforçando a ideia de que há uma relação positiva entre as duas variáveis.

Coeficiente de Determinação Ajustado (R^2 ajustado): 0,6315

O R^2 é utilizado na regressão para medir a proporção da variabilidade da variável resposta explicada pelo modelo. Ele permite avaliar a qualidade do ajuste entre o peso e a altura, indicando o grau de associação entre essas variáveis e a precisão do modelo.

Quadro 12: Coeficiente de determinação (R^2)

Coeficiente	R^2
Coeficiente de determinação	0,63

O coeficiente de determinação R^2 , do **Quadro 12**, foi de aproximadamente 0,63. Isso indica que aproximadamente 63% da variação na altura pode ser explicada pela variação no peso dos atletas, considerando o modelo linear ajustado. Sugerindo assim uma associação significativa entre as variáveis. No entanto, há ainda 37% da variação na altura que não é explicada por esse modelo e pode estar relacionada a outros fatores ou variáveis que não foram incluídas nesta análise.

Quadro 13: Resultado do Teste F da Regressão

Teste	P-valor
Teste F da Regressão	<0,001

O teste F realizado na regressão, que se encontra no **Quadro 13**, revelou um p-valor de $< 0,001$, indicando que o efeito da altura sobre o peso é estatisticamente significativo ao nível de 5%. Isso implica que a variação na altura dos atletas está significativamente associada a variações do peso, com uma probabilidade muito baixa de que essa associação seja devida ao acaso. Esse resultado nos permite concluir que há uma relação linear significativa entre as variáveis peso e altura para o conjunto de dados analisados. Contudo, é importante destacar que, embora a significância estatística indique uma associação, ela não revela a intensidade da relação, que pode ser observada pelo coeficiente de correlação de Pearson (0,79), além do coeficiente de determinação na análise de regressão.

4 Conclusões

A diferença expressiva entre os Estados Unidos e os demais países sugere uma forte tradição e investimento no esporte feminino, refletindo-se em um número maior de atletas de alto nível. Por outro lado, Rússia e China também se destacam, a diferença na quantidade de medalhistas são significativamente menores quando comparadas aos Estados Unidos.

Notou-se diferenças significativas no IMC entre as modalidades esportivas analisadas (Atletismo, Badminton, Futebol, Ginástica e Judô). Devido à não normalidade dos dados, foi aplicado o teste de Kruskal-Wallis, que confirmou essas diferenças. O Judô apresentou os maiores valores de IMC, refletindo um perfil corporal robusto, enquanto Ginástica e Atletismo mostraram IMC mais baixos, associados à agilidade. Futebol e Badminton ficaram em posição intermediária, com valores de IMC superiores aos de Ginástica e Atletismo, mas abaixo dos do Judô.

Observou-se que os três principais medalhistas olímpicos – Phelps, Coughlin e Lochte – têm padrões distintos de conquistas de medalhas. Phelps se destacou pela grande quantidade de ouros, enquanto Coughlin e Lochte apresentaram um equilíbrio maior entre as diferentes medalhas. Esse padrão foi confirmado pelo teste qui-quadrado, evidenciando a diversidade no desempenho dos atletas e como diferentes fatores podem influenciar o sucesso olímpico.

Por fim, confirmou-se uma correlação positiva significativa entre o peso e a altura dos atletas, reforçando a ideia de que, em muitas modalidades, existe uma relação entre essas características físicas. Esse resultado abre portas para investigações mais detalhadas sobre como as características corporais podem impactar o desempenho nos Jogos Olímpicos.